

МЕХАНИКА  
ТВЕРДОГО ТЕЛА  
№ 4 · 1981

(4.4)

решение

(4.5)

рассмотреть циклическости ко-  
о и условия (1.3)

(4.6)

веденному выше.  
за обсуждение

Машиностроение,  
и движение гло-  
бом подвесе. M:  
gineers and physi-  
чила в редакцию  
24.III.1980

УДК 531.3

## О ДВИЖЕНИИ ПЛОСКИХ ТЕЛ ПРИ НАЛИЧИИ СУХОГО ТРЕНИЯ

ИНИЛИНСКИЙ А. Ю., СОКОЛОВ Б. Н., ЧЕРНОУСЬКО Ф. Л.

Рассматривается движение плоских тел по плоскости под действием сил сухого трения. Построены и проанализированы фазовые траектории движения колца и диска; рассчитаны траектории движения стержня с массами на концах. Динамика систем с сухим трением рассматривалась ранее [1-4].

1. Постановка задачи и уравнения движения. Рассматривается плоское тело (пластина), движущееся под действием сил сухого трения по горизонтальной плоскости. Предполагается, что давление  $p$  пластины на поверхность в каждой точке пропорционально плотности пластины  $\rho$  в этой же точке, т. е. ее массе, отнесенной к площади пластины. Это означает, что вертикальные сдвиговые напряжения в теле пренебрежимо малы. Обозначим  $R$ ,  $V$  — радиус-вектор и вектор скорости центра масс пластины,  $\omega$  — ее угловая скорость,  $k$  — коэффициент сухого трения пластины,  $m$  — масса пластины,  $I$  — ее центральный момент инерции вокруг вертикальной оси,  $g$  — ускорение силы тяжести.

Запишем уравнения движения пластины. Сила сухого трения  $d\vec{f}$ , действующая на элемент  $dS$  поверхности пластины, пропорциональна давлению  $p$  и направлена против вектора скорости  $v$  элемента, если этот элемент движется

$$d\vec{f} = -kgv dS |v|^{-1} \text{ при } v \neq 0 \quad (1.1)$$

Здесь предполагается, что сила трения, действующая на точку с нулевой скоростью, равна нулю. Такое предположение оправдано для пластин, не имеющих сосредоточенных масс.

Далее, в гл. 4 будет рассмотрен случай, при котором сила трения в точке, обладающей нулевой скоростью, имеет конечную величину.

Введем единому координату, связанную с пластиной, в центре в ее центре тяжести. Обозначим через  $r$  радиус-вектор, соединяющий начало координат и элемент  $dS$  поверхности пластины. Скорость элемента  $dS$  равна:  $v = V + \omega \times r$ .

Главный вектор  $F$  и главный момент  $M$  относительно центра масс сил трения, приложенных к пластине, равны

$$\mathbf{F} = -kg \iint_D \rho \frac{\mathbf{V} + \boldsymbol{\omega} \times \mathbf{r}}{|\mathbf{V} + \boldsymbol{\omega} \times \mathbf{r}|} dS \quad (1.2)$$

$$\mathbf{M} = -kg \iint_D \rho r \times \frac{\mathbf{V} + \boldsymbol{\omega} \times \mathbf{r}}{|\mathbf{V} + \boldsymbol{\omega} \times \mathbf{r}|} dS \quad (1.3)$$

где  $D$  — область, занятая плоской пластиной. Вектор  $M$  перпендикулярен плоскости движения, его величину с соответствующим знаком обозначим  $M$ .

Масса  $m$  и центральный момент инерции  $I$  пластины определяются

интегралами

$$m = \iint_D \rho dS, \quad I = \iint_D r^2 \rho dS \quad (1.4)$$

С учетом соотношений (1.2) – (1.4) движение пластины описывается следующими уравнениями:

$$\dot{R} = V, \quad mV' = F, \quad \dot{\varphi} = \omega, \quad I\dot{\omega} = M \quad (1.5)$$

где  $\varphi$  – угол поворота пластины, отсчитанный от некоторого неподвижного направления.

Если пластина обладает аксиальной симметрией (относительно оси, проходящей через центр масс  $O$  перпендикулярно плоскости движения), то вектор скорости  $V$  сохраняет постоянное направление. Для этого, очевидно, достаточно показать, что  $V \times F = 0$ , т. е. главный вектор сил трения направлен вдоль вектора скорости  $V$ .

Рассмотрим два вектора  $r'$  и  $r''$ , симметричные относительно нормали  $V_1$  к вектору  $V$ :

$$r' = a_1 V + a_2 V_1, \quad r'' = -a_1 V + a_2 V_1 \quad (1.6)$$

где  $a_1, a_2$  – произвольные постоянные.

В силу симметрии области  $D$  относительно оси, направленной по вектору  $V_1$  и проходящей через центр масс, векторы  $r'$ ,  $r''$  одновременно либо принадлежат, либо не принадлежат области  $D$ . Поэтому для равенства пулю интеграла

$$V \times F = -kg \iint_D \rho V \times \frac{V + \omega \times r}{|V + \omega \times r|} dS$$

достаточно равенства пулю следующего выражения (при всех  $a_1, a_2$ ):

$$Q = V \times \frac{V + \omega \times r'}{|V + \omega \times r'|} + V \times \frac{V + \omega \times r''}{|V + \omega \times r''|} \quad (1.7)$$

Подставим выражения (1.6) в соотношение (1.7) и воспользуемся известным векторным равенством  $a \times (b \times c) = b(a \cdot c) - c(a \cdot b)$ . После упрощения получим

$$Q = \frac{a_1 \omega V^2 - a_1 V(V\omega)}{|V + a_2 \omega \times V_1 + a_1 \omega \times V|} - \frac{a_1 \omega V^2 - a_1 V(V\omega)}{|V - a_1 \omega \times V + a_2 \omega \times V_1|} \quad (1.8)$$

Замечая, что  $\omega \times V_1 = b_1 V$  и  $\omega \times V = b_2 V_1$ , где  $b_1, b_2$  – скаляры, имеем

$$|V + a_2 \omega \times V_1 + a_1 \omega \times V| = |V + a_2 b_1 V + a_1 b_2 V_1|$$

$$|V + a_2 \omega \times V_1 - a_1 \omega \times V| = |V + a_2 b_1 V - a_1 b_2 V_1|$$

В силу ортогональности векторов  $V$  и  $V_1$ , знаменатели дробей (1.8) равны, следовательно,  $Q=0$ , что и требовалось доказать.

Далее будем рассматривать движение аксиально-симметричных пластин постоянной плотности. Введем полярную систему координат  $r, \varphi$  с центром в центре масс пластины. Обозначим через  $\psi$  угол между вектором скорости центра масс и радиусом, соединяющим начало координат и элемент  $dS = r dr d\varphi$  поверхности пластины. Предположим, что пластина ограничена внутренним контуром радиуса  $r_1$  и внешним контуром радиуса  $r_2$ .

Вычислим проекцию  $F$  на вектор  $V$  главного вектора сил трения  $F$  (этот вектор коллинеарен  $V$ ). Распишем в координатной форме векторное произведение в (1.2), учитывая, что  $dS = r dr d\varphi$ , а угол  $\psi$  отсчитывается

от направления вектора  $V$ .

$$F = -kg \rho \int_{r_1}^{r_2} \int_0^{2\pi}$$

Величина момента  $M$  и:

$$M = -kg \rho \int_{r_1}^{r_2} \int_0^{2\pi}$$

Согласно формулам (1.5) пластины соответственно  $\dot{r}$

$$m = \rho r l$$

Объединяя соотношения (1.5), получим (штрихи)  $\dot{r}' = t(\pi^{-1} r_2^{-1} kg)^{1/2}$ ,  $\dot{\varphi}' = t(\pi^{-1} r_2^{-1} kg)^{1/2}$  (штрихи)  $m = \rho r l$  нения движения (штрихи)

$$\left[ 1 - \left( \frac{r_1}{r_2} \right)^2 \right] V =$$

$$\left[ 1 - \left( \frac{r_1}{r_2} \right)^4 \right] \omega =$$

Система (1.12) инвариантна:

$$V \rightarrow$$

В этом можно убедиться, что траектория системы (но прямых  $V=0, \omega=0$ , смотреть в квадранте  $\omega \geq 0$ ) элементарных преобразований записана в виде интеграла

$$\left[ 1 - \left( \frac{r_1}{r_2} \right)^2 \right] V = -2$$

$$\left[ 1 - \left( \frac{r_1}{r_2} \right)^4 \right] \omega = -4$$

где  $\beta = V \omega^{-1}$ ,  $K$  и  $E$  – полюса соответственно.

2. Движение кольца. обе части уравнений (1.12) в тях полученных уравнениях движения кольца по пло-

$$V = -\frac{1}{2} \int_{r_1}^{r_2}$$

от направления вектора  $V$ . Получим

(1.4)

$$F = -kgr \int_0^{2\pi} \int_{r_1}^{r_2} \frac{V - r\omega \sin \psi}{(V^2 + r^2\omega^2 - 2rV\omega \sin \psi)^{1/2}} r dr d\psi \quad (1.9)$$

мы описывается

(1.5)

его инерционно-

носителью оси,

сти движения),

Для этого, оче-

ток сил трения

(1.6)

келько нормали

ленной по век-

оременно либо

для равенства

(1.7)

имеем из-

ло упрощения

(1.8)

имеем

дробей (1.8)

чных пластин

$r, \psi$  с цент-

ом между вектором

единич и элек-

тической огра-

м радиуса  $r_2$ .

и. трения  $F$

ме векторное

госчитывается

Величина момента  $M$  из (1.3) с учетом соответствующего знака равна

$$M = -kgr \int_0^{2\pi} \int_{r_1}^{r_2} \frac{r\omega - V \sin \psi}{(V^2 + r^2\omega^2 - 2rV\omega \sin \psi)^{1/2}} r^2 dr d\psi \quad (1.10)$$

Согласно формулам (1.4), масса  $m$  и центральный момент инерции  $I$  пластин соответственно равны

$$m = \rho \pi (r_2^2 - r_1^2), \quad I = \frac{1}{2} \rho \pi (r_2^4 - r_1^4). \quad (1.11)$$

Объединяя соотношения (1.9)–(1.11) и вводя в них безразмерные (отнесены к штрихом) переменные  $r' = rr_2^{-1}$ ,  $V' = V/(\pi^{-1}kg r_2)$ ,  $\omega' = \omega/(\pi^{-1}r_2^{-1}kg)$ ,  $t' = t(\pi^{-1}r_2^{-1}kg)^{1/2}$ , получаем, согласно формулам (1.5), уравнения движения (штрихи далее опущены):

$$\left[ 1 - \left( \frac{r_1}{r_2} \right)^2 \right] V = - \int_0^{2\pi} \int_{r_1/r_2}^{1} r \frac{V - r\omega \sin \psi}{(V^2 + r^2\omega^2 - 2rV\omega \sin \psi)^{1/2}} dr d\psi \quad (1.12)$$

$$\left[ 1 - \left( \frac{r_1}{r_2} \right)^4 \right] \omega = -2 \int_0^{2\pi} \int_{r_1/r_2}^{1} r^2 \frac{r\omega - V \sin \psi}{(V^2 + r^2\omega^2 - 2rV\omega \sin \psi)^{1/2}} dr d\psi$$

Система (1.12) инвариантна по отношению к следующим преобразованиям:

$$V \rightarrow -V, \omega \rightarrow \omega; V \rightarrow V, \omega \rightarrow -\omega \quad (1.13)$$

В этом можно убедиться непосредственной проверкой. Поэтому семейство траекторий системы (1.12) на плоскости  $\omega, V$  симметрично относительно прямых  $V=0, \omega=0$ . Следовательно, эту систему достаточно рассмотреть в квадранте  $\omega \geq 0, V \geq 0$  на плоскости  $\omega, V$ . В этой области после элементарных преобразований правая часть уравнений (1.12) может быть записана в виде интегралов от эллиптических интегралов

$$\left[ 1 - \left( \frac{r_1}{r_2} \right)^2 \right] V = -2 \int_{r_1/r_2}^1 \left[ r \frac{r+\beta}{\beta} E \left( \frac{2\sqrt{r\beta^{-1}}}{1+r\beta^{-1}} \right) + r \frac{\beta-r}{\beta} K \left( \frac{2\sqrt{r\beta^{-1}}}{1+r\beta^{-1}} \right) \right] dr \quad (1.14)$$

$$\left[ 1 - \left( \frac{r_1}{r_2} \right)^4 \right] \omega = -4 \int_{r_1/r_2}^1 \left[ r(r+\beta) E \left( \frac{2\sqrt{r\beta^{-1}}}{1+r\beta^{-1}} \right) + r(r-\beta) K \left( \frac{2\sqrt{r\beta^{-1}}}{1+r\beta^{-1}} \right) \right] dr$$

где  $\beta = V\omega^{-1}$ ,  $K$  и  $E$  – полные эллиптические интегралы первого и второго рода соответственно.

2. Движение кольца. Рассмотрим тонкое кольцо:  $r_2 - r_1 \ll r_2$ . Разделим обе части уравнений (1.12) на  $1 - r_1 r_2^{-1}$  и перейдем к пределу в правых частях полученных уравнений при  $r_1 \rightarrow r_2$ . Получим следующие уравнения движения кольца по плоскости:

$$V = -\frac{1}{2} \int_0^{2\pi} (V - \omega \sin \psi) (V^2 + \omega^2 - 2V\omega \sin \psi)^{-1/2} d\psi$$

$$\omega = -\frac{1}{2} \int_0^{2\pi} (\omega - V \sin \psi) (V^2 + \omega^2 - 2V\omega \sin \psi)^{-\frac{1}{2}} d\psi \quad (2.1)$$

Система (2.1), дополнительно к преобразованиям (1.13), инвариантна по отношению к преобразованию  $V \rightarrow \omega$ ,  $\omega \rightarrow V$ . Поэтому семейство траекторий этой системы симметрично относительно прямых  $V=0$ ,  $\omega=0$ ,  $V=\omega$ . Следовательно, систему (2.1) достаточно исследовать в области  $0 \leq V \leq \omega$ , где система (2.1) эквивалентна вытекающей из (1.14) системе

$$V = \left[ \frac{1+\beta}{\beta} E \left( \frac{2V\beta}{1+\beta} \right) + \frac{\beta-1}{\beta} K \left( \frac{2V\beta}{1+\beta} \right) \right], \quad 0 \leq \beta = V/\omega \leq 1 \quad (2.2)$$

$$\omega = - \left[ (\beta+1) E \left( \frac{2V\beta}{1+\beta} \right) + (1-\beta) K \left( \frac{2V\beta}{1+\beta} \right) \right]$$

Упростить уравнения (2.2) можно при помощи формул [5]:

$$E \left( \frac{2V\beta}{1+\beta} \right) = \frac{1}{1+k} (2E(k) - k^2 K(k))$$

$$K \left( \frac{2V\beta}{1+\beta} \right) = (1+k) K(k), \quad k^2 = 1 - k^2 \quad (2.3)$$

В результате получим систему

$$V = -\frac{2}{\beta} [E(\beta) - (1-\beta^2) K(\beta)], \quad \omega = -2E(\beta) \quad (2.4)$$

Оценим величину кинетической энергии кольца  $H$  как функцию времени. В безразмерных переменных, с точностью до постоянного множителя,  $H = (V^2 + \omega^2)/2$ . Умножим первое уравнение (2.1) на  $V$ , второе — на  $\omega$  и сложим их. После упрощений получим

$$(\sqrt{V^2 + \omega^2})' = -\frac{1}{2} \int_0^{2\pi} \sqrt{1 - \frac{2V\omega}{V^2 + \omega^2} \sin \psi} d\psi \quad (2.5)$$

Из очевидного неравенства  $\sqrt{2} \leq (1+a)^{\frac{1}{2}} + (1-a)^{\frac{1}{2}} \leq 2$  ( $0 \leq a \leq 1$ ) следует оценка интеграла

$$\sqrt{2}\pi \leq \int_0^\pi \left( \sqrt{1 + \frac{2V\omega}{V^2 + \omega^2} \sin \psi} + \sqrt{1 - \frac{2V\omega}{V^2 + \omega^2} \sin \psi} \right) d\psi \leq 2\pi$$

поэтому в силу (2.5) имеем

$$-\sqrt{2}\pi \geq 2[(2H)^{\frac{1}{2}}] \geq -2\pi, \quad H = (V^2 + \omega^2)/2$$

Следовательно

$$H_0^{\frac{1}{2}} - \pi(t-t_0) \geq H^{\frac{1}{2}} \geq H_0^{\frac{1}{2}} - \frac{\pi}{\sqrt{2}}(t-t_0)$$

$$H_0 = \frac{1}{2}(V_0^2 + \omega_0^2)$$

где  $H_0$  — значение  $H$  в начальный момент  $t=t_0$ .

Отсюда получаем оценку времени  $T$  движения кольца до его полной

остановки в зависимости

Построим фазовы  
уравнение (2.4) на в

$$\frac{dV}{d\omega}$$

Уравнение (2.6) проходит через н

Уравнение (2.6) в  
вокруг начальной

Покажем, что вс  
чающей чистому вр  
шую, являющуюся б

Допустим, что с  
в начале координат  
 $< k < 1$ ). Тогда в т  
 $= \Phi(k)$  при  $\omega = 0$ .

Утверждение доказа  
Покажем, что е  
 $V_0 < \omega_0$ , то  $V(t) < \omega(t)$   
сматривается при 0

Предположим об  
 $= \omega(t_1) > 0$ . Покаже

Тогда из форм  
ному допущению  $\omega$   
Рассмотрим фун

$$\Phi(\beta) - \beta$$

Воспользуемся  
ралов в окрестност

$$E(\beta) = 1$$

и представим  $\Phi(\beta)$

$$\Phi(\beta) - \beta$$

(2.4)

остановки в зависимости от начальных данных  $V_0, \omega_0$ :

$$\sqrt{2(V_0^2 + \omega_0^2)/\pi} \geq T \geq \sqrt{V_0^2 + \omega_0^2}/\pi$$

Построим фазовые траектории движения кольца. Разделим первое уравнение (2.4) на второе

$$\frac{dV}{d\omega} = \frac{1}{\beta} \left[ 1 - (1-\beta^2) \frac{K(\beta)}{E(\beta)} \right] = \Phi(\beta), \quad \beta = \frac{V}{\omega} \quad (2.6)$$

Уравнение (2.6) однородно, поэтому его изоклиниами являются прямые, проходящие через начало координат. Из неравенства  $E \leq K$  следует неравенство

$$\Phi(\beta) < \beta, \quad 0 < \beta < 1, \quad \beta = V/\omega \quad (2.7)$$

Уравнение (2.6) интегрируется в квадратурах. Его решение, удовлетворяющее начальным данным  $\omega = \omega_0, V = V_0$  при  $t = 0$ , имеет вид

$$\omega = \omega_0 \exp \int_{V_0/\omega_0}^{V/\omega} \frac{d\beta}{\Phi(\beta) - \beta} \quad (2.8)$$

Покажем, что все фазовые траектории, кроме траектории  $V = 0$ , отвечающей чистому вращению, в начале координат имеют общую касательную, являющуюся биссектрисой первого координатного угла.Допустим, что существует траектория  $V = V(\omega)$ , касательная к которой в начале координат имеет тангенс угла наклона к оси  $\omega$ , равный  $k$  ( $0 < k < 1$ ). Тогда в точке  $\omega = 0$  должно быть выполнено:  $k = \lim_{\omega \rightarrow 0} \Phi(V/\omega) = \Phi(k)$  при  $\omega \rightarrow 0$ . Это соотношение противоречит неравенству (2.7). Утверждение доказано.Покажем, что если в начальный момент  $t = 0$  было выполнено условие  $V_0 < \omega_0$ , то  $V(t) < \omega(t)$  вплоть до полной остановки кольца (движение рассматривается при  $0 \leq V \leq \omega$ ).Предположим обратное, т. е. при  $t = t_1 > 0$  имеет место равенство  $V(t_1) = \omega(t_1) > 0$ . Покажем, что

$$\int_{V_0/\omega_0}^{V(t_1)/\omega(t_1)} \frac{d\beta}{\Phi(\beta) - \beta} = -\infty \quad (2.9)$$

Тогда из формулы (2.8) следует  $\omega(t_1) = 0$ , что противоречит сделанному допущению  $\omega(t_1) = V(t_1) > 0$ .

Рассмотрим функцию

$$\Phi(\beta) - \beta = \frac{1-\beta^2}{\beta} \left[ 1 - \frac{K(\beta)}{E(\beta)} \right] = \frac{1-\beta^2}{\beta} \left[ \frac{E(\beta) - K(\beta)}{E(\beta)} \right]$$

Воспользуемся асимптотическим представлением эллиптических интегралов в окрестности  $\beta = 1$  [5]:

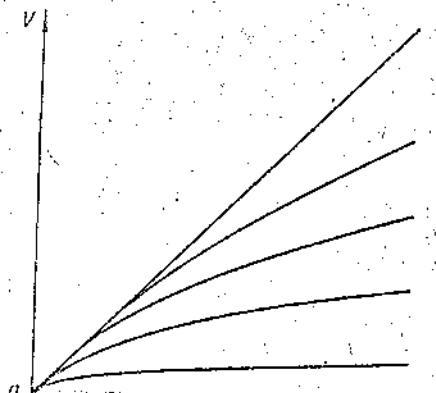
$$E(\beta) = 1 + \frac{1}{2} \left( \ln \frac{4}{\beta'} - \frac{1}{2} \right) \beta'^2 + \dots, \quad (\beta' = \sqrt{1-\beta^2} \rightarrow 0)$$

$$K(\beta) = \ln \frac{4}{\beta'} + \frac{1}{2^2} \left( \ln \frac{4}{\beta'} - 1 \right) \beta'^2 + \dots$$

и представим  $\Phi(\beta) - \beta$  в виде ряда

$$\Phi(\beta) - \beta = (1-\beta^2) \beta^{-1} E^{-1}(\beta) \left[ 1 - \ln \frac{4}{\beta'} + \frac{\beta'^2}{4} \ln \frac{4}{\beta'} + \dots \right]$$

Следовательно, в окрестности  $\beta=1$  подынтегральная функция (2.8) имеет неинтегрируемую особенность вида  $(1-\beta)^{-1} \ln^{-1}(1-\beta)$  и интеграл (2.9) расходится, что и требовалось доказать.



Фиг. 4

Из доказанных свойств следует, что все фазовые траектории уравнения (2.6) в области  $0 \leq V \leq \omega$ , кроме прямой  $V=0$ , есть кривые, касающиеся прямой  $V=\omega$  в точке  $V=\omega=0$ . Фазовые траектории уравнения (2.6), полученные численно, представлены на фиг. 1.

Из полученных результатов и данных расчетов вытекают следующие качественные особенности движения колеса по плоскости.

Для всех движений колеса, кроме поступательного движения ( $\omega=0$ ) и чистого вращения ( $V=0$ ),  $V$  и  $\omega$  обра-

гаются в нуль одновременно в момент остановки. Непосредственно перед остановкой выполняется условие  $V=\omega$ , т. е. мгновенный центр скоростей перед остановкой находится в точке окружности колеса (напомним, что в безразмерных переменных колесо имеет единичный радиус).

3. Движение диска. Рассмотрим движение круглого диска по плоскости. Уравнения (1.14) при  $r_1=0$  принимают вид (движение рассматривается при  $V \geq 0, \omega \geq 0$ ):

$$\begin{aligned} V &= -2 \int_0^{\frac{r}{\beta}} \left[ r \frac{r+\beta}{\beta} E \left( \frac{2\sqrt{r}\beta^{-1}}{1+r\beta^{-1}} \right) + r \frac{\beta-r}{\beta} K \left( \frac{2\sqrt{r}\beta^{-1}}{1+r\beta^{-1}} \right) \right] dr \\ \omega &= -4 \int_0^{\frac{r}{\beta}} \left[ r(r+\beta) E \left( \frac{2\sqrt{r}\beta^{-1}}{1+r\beta^{-1}} \right) + r(r-\beta) K \left( \frac{2\sqrt{r}\beta^{-1}}{1+r\beta^{-1}} \right) \right] dr \end{aligned} \quad (3.1)$$

Рассмотрим случай  $\beta \geq 1$  и обозначим  $\xi = r\beta^{-1}$ . Воспользуемся соотношениями (2.3) и упростим правые части уравнений (3.1):

$$\begin{aligned} V &= -4\beta^2 \int_0^{\frac{1}{\beta}} \xi E(\xi) d\xi \\ \omega &= -8\beta^3 \int_0^{\frac{1}{\beta}} [\xi E(\xi) - \xi(1-\xi^2) K(\xi)] d\xi \end{aligned} \quad (3.2)$$

Верны соотношения (см. [5]):

$$\begin{aligned} \int E(k) dk &= \frac{1}{2} (1+k^2) E(k) - \frac{1}{2} k^2 K(k) \\ \int K(k) k^2 dk &= \frac{1}{2} [(4+k^2) E(k) - k^2 (4+3k^2) K(k)] \\ \int K(k) k dk &= E(k) - k^2 K(k), \quad k^2 = 1-k^2 \end{aligned} \quad (3.3)$$

Использование этих соотношений позволяет проинтегрировать правые

части уравнений (3.3)

$$V = -\frac{4}{3} \beta^2$$

$$\omega = -\frac{8}{3} \beta^3 [(4\beta^2 - 1)/3]$$

Рассмотрим теперь слагаемое (3.1) в виде суммы двух и

$$V = -2$$

$$\omega = -2$$

где через  $A_1, A_2$  обозначены уравнения (3.1).

Вычислим следующие

$$I_{11} = -2$$

$$I_{21} = -4$$

Если в подынтегральную функцию интегрирования входят слагаемые в правых частях, равные единице. Поэтому где в квадратных скобках

Вычислим теперь интегралы в правых частях этих уравнений с помощью соотношениями (2.3).

$$I_{12} = 4$$

Для интегрирования

$$\int \frac{E}{k^4} dk$$

$$\frac{d}{dk} \left[ \frac{1}{k} \right] (k)$$

альная функция (2.8)  $\pi^{-1}(1-\beta)$  и интеграл я, что и требовалось.

ых свойств следует, в траектории уравнения  $0 \leq V \leq \omega$ , кроме кривые, касающиеся в точке  $V=\omega=0$ . Формы уравнения (2.6), ленно, представлены

их результатов и даются следующие особенности движения:

каждый коньца, кроме движения ( $\omega=0$ ) и ( $V=0$ ),  $V$  и  $\omega$  обычно одновременно выполняются условиями находятся в пределах переменных

го диска по проекции рассмотрим-

$$\left. \frac{r\beta^{-1}}{\pi\beta^{-1}} \right) \] dr \quad (3.1)$$

$$\left. \frac{\beta^{-1}}{\beta^{-1}} \right) \] dr \quad (3.2)$$

зываемся соотноше-

(3.2)

$k)$  } (3.3)

ировать правые

части уравнений (3.3)

$$V = -\frac{4}{3}\pi\beta^2 [(\beta^{-2}+1)E(\beta^{-1}) + (\beta^{-2}-1)K(\beta^{-1})] \quad (3.4)$$

$$\omega = -\frac{8}{9}\beta^3 [(4\beta^{-2}-2)E(\beta^{-1}) + (3\beta^{-2}-2)(\beta^{-2}-1)K(\beta^{-1})]$$

Рассмотрим теперь случай  $\beta < 1$ . Представим правые части уравнений (3.1) в виде суммы двух интегралов

$$V = -2 \left[ \int_0^\beta A_1(r, \beta) dr + \int_\beta^1 A_1(r, \beta) dr \right] \quad (3.5)$$

$$\omega = -4 \left[ \int_0^\beta A_2(r, \beta) dr + \int_\beta^1 A_2(r, \beta) dr \right]$$

где через  $A_1$ ,  $A_2$  обозначены подынтегральные функции в правых частях уравнений (3.1).

Выполним следующие интегрирования, фигурирующие в системе (3.5):

$$I_{11} = -2 \int_0^\beta A_1(r, \beta) dr, \quad I_{12} = -2 \int_\beta^1 A_1(r, \beta) dr \quad (3.6)$$

$$I_{21} = -4 \int_0^\beta A_2(r, \beta) dr, \quad I_{22} = -4 \int_\beta^1 A_2(r, \beta) dr$$

Если в подынтегральных выражениях интегралов  $I_{11}$ ,  $I_{21}$  заменить переменную интегрирования  $r = \beta\xi$ , то эти интегралы перейдут в интегралы, стоящие в правых частях системы (3.2), причем верхний предел окажется равным единице. Поэтому  $I_{11}$ ,  $I_{21}$  равны правым частям системы (3.4), где в квадратных скобках следует положить  $\beta = 1$ . Таким образом, имеем

$$I_{11} = -\frac{4}{3}\pi\beta^2, \quad I_{21} = -\frac{8}{9}\pi\beta^3 \quad (3.7)$$

Вычислим теперь интегралы  $I_{12}$ ,  $I_{22}$  из (3.6). Сделаем в подынтегральных функциях этих интегралов замену переменной  $r = \beta\xi^{-1}$  и воспользуемся соотношениями (2.3). После преобразований получим

$$I_{12} = 4\beta^2 \int_1^\beta [\xi^{-4}E(\xi) - (1-\xi^2)\xi^{-4}K(\xi)] d\xi \quad (3.8)$$

$$I_{22} = 8\beta^3 \int_1^\beta \xi^{-4}E(\xi) d\xi$$

Для интегрирования (3.8) воспользуемся формулами [5]:

$$\int \frac{E}{k^4} dk = \frac{1}{9k^3} [2(k^2-2)E(k) + k'^2 K(k)]$$

$$\frac{d}{dk} \left[ \frac{1}{k} (K(k) - E(k)) \right] = [E(k) - k'^2 K(k)] \frac{1}{k^2 k'^2} \quad (3.9)$$

$$\int \frac{K dk}{k} = -\frac{E(k)}{k}, \quad k'^2 = 1 - k^2$$

Преобразуем первый интеграл (3.8), воспользовавшись вторым соотношением (3.9) и интегрированием по частям.

$$\begin{aligned} \int (\xi^{-4}E - \xi'^2\xi^{-4}K) d\xi &= \int \frac{\xi'^2}{\xi^2} \left( \frac{E}{\xi^2\xi'^2} - \frac{K}{\xi^2} \right) d\xi = \\ &= -\frac{\xi'^2}{\xi^2} \frac{1}{\xi} (E-K) - 2 \int \xi'^{-4}(E-K) d\xi, \quad \xi'^2 = 1 - \xi^2 \end{aligned}$$

Отсюда следует равенство

$$3 \int (\xi^{-4}E - \xi'^2K) d\xi + \int \xi'^{-2}K d\xi = -\xi'^2\xi^{-3}(E-K)$$

Используя третье равенство (3.9), приходим к соотношению

$$\int (\xi^{-4}E - \xi'^2K) d\xi = -\frac{1}{3} \frac{\xi'^2}{\xi^3} (E-K) + \frac{1}{3} \frac{E}{\xi}$$

Добавляя к обеим частям полученного равенства третье равенство (3.9), получим после упрощений

$$\int \left( \frac{E}{\xi^4} - \frac{\xi'^2 K}{\xi^4} \right) d\xi = \frac{1-\xi^2}{3\xi^3} K - \frac{1+\xi^2}{3\xi^3} E$$

Использование этого равенства и первого соотношения (3.9) дает искомые значения интегралов  $I_{12}, I_{22}$  из (3.6):

$$\begin{aligned} I_{12} &= 4\beta^2 \left[ \frac{1-\beta^2}{3\beta^3} K(\beta) - \frac{1+\beta^2}{3\beta^3} E(\beta) + \frac{\pi}{3} \right] \\ I_{22} &= \frac{8}{9} \beta^3 \left[ \frac{2(\beta^2-2)}{\beta^3} E(\beta) + \frac{(1-\beta^2)}{\beta^3} K(\beta) + \pi \right] \end{aligned}$$

Вместе с соотношениями (3.7) эти равенства позволяют записать уравнения движения диска в случае  $\beta < 1$  в виде

$$V = \frac{4}{3\beta} [(1-\beta^2)K(\beta) - (1+\beta^2)E(\beta)] \quad (3.10)$$

$$\omega = \frac{8}{9} [2(\beta^2-2)E(\beta) + (1-\beta^2)K(\beta)]$$

Отметим, что уравнения (3.4), (3.10), полученные другим способом, приведены в [2].

Построим семейство траекторий системы (3.1) в квадранте  $V \geq 0, \omega \geq 0$ . Для этого воспользуемся уравнениями (3.4) в области  $V\omega^{-1} > 1$  и уравнениями (3.10) в области  $0 \leq V\omega^{-1} \leq 1$ . Результаты численного решения этих уравнений приведены на фиг. 2.

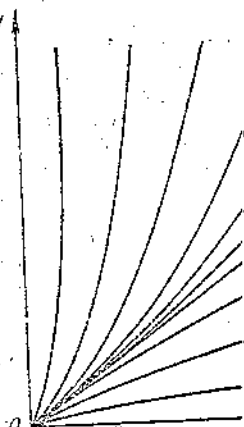
Покажем, что все траектории системы (3.1), кроме траекторий  $V=0, \omega=0$ , имеют общую касательную в начале координат. Обозначим через  $\Phi_1(\beta)$  отношение правой части первого уравнения (3.4) к правой части второго, а через  $\Phi_2(\beta)$  — соответствующее отношение для уравнения (3.10). Пусть уравнение касательной к некоторой траектории системы (3.1) имеет вид  $V=k\omega$ . Тогда  $k$  должно удовлетворять уравнению

$$\Phi_i(k) = k \quad (i=1 \text{ при } k > 1, i=2 \text{ при } 0 < k < 1) \quad (3.11)$$

Исследование, аналогичное проведенному в п. 2, показывает, что при

$i=1$  это уравнение не имеет решений (3.11) исследованного промежутка зависимости  $\beta$  от  $k$ . Это означает, что траектория в начальном положении коренем определяет промежуток, в котором траектория лежит.

Аналогично тому, что было доказано в п. 2, аналогичные утверждения могут быть доказаны для  $i=2$ .



одновременно для линейного движения вдоль прямой  $V=k*\omega$  только вправо.

Это означает, что движение вправо ( $V_0=0$ ) и по окружности вправо (посредством полной остановки и мгновенного вращения) останавливается.

4. Движение по окружности вправо вдоль прямой  $V=k*\omega$  вправо.

Введем обозначение (фиг. 4),  $R$  — радиус центра масс,  $\varphi$  — угол отсчитанный против часовой стрелки от положения  $r_1$ ,  $r_2$  — радиус-вектор  $i$ -й точки,  $\mu_i$  — коэффициент трения  $i$ -й точки на  $i$ -ю точку,  $M$  — относительный центральный момент.

Запишем уравнение движения точки  $m_i$  со стационарной силой  $F_i$ , равны по

шись вторым соотно-

$$) d\xi =$$

$$= 1 - \xi^2$$

$$\xi = K$$

отношению

$$\frac{E}{\xi}$$

третье равенство

я (3.9) дает иско-

л

т записать уравнение

$$(3.10)$$

другим способом,

нте  $V \geq 0$ ,  $\omega \geq 0$ ,  $\omega^{-1} > 1$  и уравнение

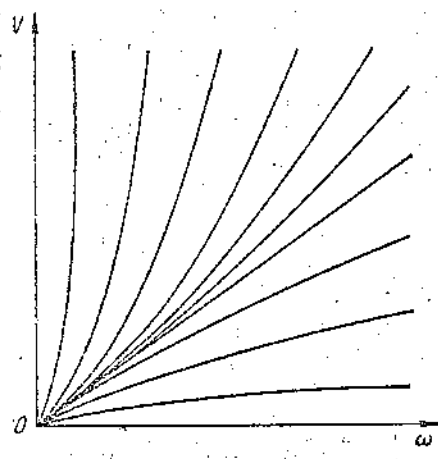
акторий  $V=0$ , означим через  $\Phi_1(k)$  правой части уравнения

$$(3.11)$$

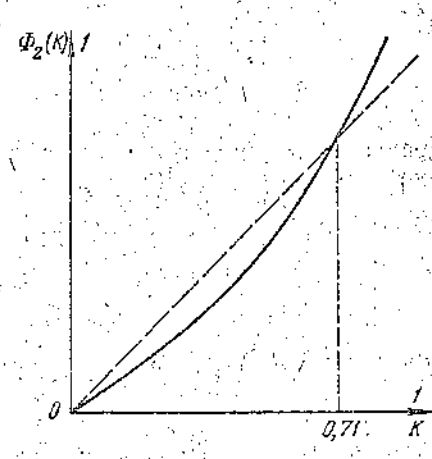
зывает, что при

$i=1$  это уравнение не имеет решений ( $\Phi_1(k) > k$  при  $k > 1$ ). При  $i=2$  уравнение (3.11) исследовалось численно. На фиг. 3 сплошной линией изображена зависимость  $\Phi_2(k)$  от  $k$ . Отметим, что корню уравнения (3.11) соответствует абсцисса пересечения графика  $\Phi_2(k)$  с биссектрисой первого координатного угла. Из графика следует, что уравнение (3.11) имеет единственный положительный корень  $k^* \approx (0, 1)$ , равный  $k^* \approx 0,71$ . Этот корень определяет прямую  $V=k^*\omega$  — общую касательную к семейству траекторий в начале координат, разделяющую семейство на две части. Отметим, что прямая  $V=k^*\omega$  сама есть траектория системы (3.1).

Аналогично тому, как это было сделано для кольца в п. 2, для диска могут быть доказаны следующие положения:  $V$  и  $\omega$  обращаются в нуль



Фиг. 2



Фиг. 3

одновременно для любых движений, кроме чистого вращения или поступательного движения; все фазовые траектории в плоскости  $\omega$ ,  $V$  касаются прямой  $V=k^*\omega$  только в начале координат.

Это означает, что при любых начальных данных, кроме чистого вращения ( $V_0=0$ ) и поступательного движения ( $\omega_0=0$ ), непосредственно перед полной остановкой тела выполняется соотношение  $V=k^*\omega$ . Следовательно, мгновенный центр вращения диска непосредственно перед его остановкой находится на расстоянии 0,71 радиуса от его центра.

4. Движение по плоскости двухмассовой системы. Рассмотрим движение по плоскости следующей механической системы (см. фиг. 4). Две материальные точки массы  $m_1$ ,  $m_2$  соединены невесомым стержнем постоянной длины  $l$ . Под действием сил сухого трения после начального толчка система начинает скользить по горизонтальной плоскости.

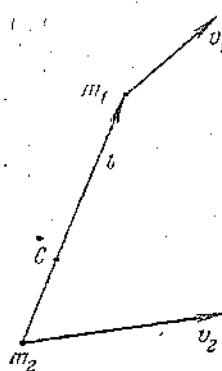
Введем обозначения: пусть  $\mathbf{l}$  — вектор, соединяющий точки  $m_1$  и  $m_2$  (фиг. 4),  $R$  — радиус-вектор центра масс  $C$  системы,  $\mathbf{V}$  — вектор скорости центра масс,  $\varphi$  — угол, образованный координатной осью  $Ox$  и вектором  $\mathbf{l}$ , отсчитанный против часовой стрелки,  $\omega$  — угловая скорость вращения системы,  $r_1$ ,  $r_2$  — расстояние от центра масс  $C$  до точек  $m_1$  и  $m_2$ ,  $k_i$  — коэффициент трения  $i$ -й точки о плоскость,  $\mathbf{f}_i$  — вектор силы трения, действующей на  $i$ -ю точку,  $\mathbf{v}_i$  — вектор скорости  $i$ -й точки ( $i=1, 2$ ),  $M$  — момент относительно центра масс  $C$  сил трения, действующих на систему,  $I$  — центральный момент инерции системы.

Запишем уравнения движения. Обозначим через  $\mathbf{F}_i$  силу, действующую на точку  $m_i$  со стороны стержня. Стержень безынерционен, поэтому силы  $\mathbf{F}_i$  равны по величине, противоположны по направлению и направ-

лени вдоль стержня

$$\mathbf{F}_2 = -\mathbf{F}_1 = Ge, \quad e = l|\mathbf{l}|^{-1} \quad (4.1)$$

Здесь  $G$  — сила натяжения стержня ( $G > 0$ , если стержень растянут,  $G < 0$ , если стержень сжат),  $e$  — единичный вектор, направленный вдоль стержня. Составим, с учетом равенства (4.1), уравнения движения точек



Фиг. 4

$$mv_1 = f_1 - F_2, \quad mv_2 = f_2 + F_2 \\ v_1 = v_2 + \omega \times \mathbf{l} - \omega^2 \mathbf{l} \quad (4.2)$$

Последнее уравнение (4.2) следует из условия нерастяжимости стержня.

Сила сухого трения  $f_i$ , приложенная к точке  $m_i$ , направлена против вектора скорости, если точка  $m_i$  движется, либо против вектора внешних сил, если точка поконится [1, 2]:

$$f_i = -k_i m_i g v_i / |v_i|^{-1}, \quad \text{если } |v_i| \neq 0 \\ f_i = -\min \{ k_i m_i g, |\mathbf{F}_i| \mathbf{F}_i / |\mathbf{F}_i|^{-1} \}, \quad \text{если } v_i = 0, \mathbf{F}_i \neq 0 \\ f_i = 0, \quad \text{если } v_i = 0, \mathbf{F}_i = 0 \quad (4.3)$$

Здесь вместо  $v_i$  следует подставить (см. фиг. 4) соотношение

$$v_i = \mathbf{V} + (-1)^{i+1} \omega \times \mathbf{e} r_i \quad (4.4)$$

Момент  $M$  сил трения и момент инерции  $I$  относительно центра масс равны

$$M = \mathbf{e} \times \mathbf{f}_1 r_1 - \mathbf{e} \times \mathbf{f}_2 r_2, \quad I = m_1 r_1^2 + m_2 r_2^2 \quad (4.5)$$

С учетом формул (4.3) — (4.5) уравнения движения системы будут иметь вид

$$\mathbf{R} = \mathbf{V}, \quad \mathbf{V}' = (\mathbf{f}_1 + \mathbf{f}_2) (m_1 + m_2)^{-1} \\ \mathbf{\Phi}' = \boldsymbol{\omega}, \quad \boldsymbol{\omega}' = M I^{-1} \quad (4.6)$$

Если скорости обеих точек  $m_1, m_2$  не равны нулю, то сила трения определяется непосредственно из соотношения (4.3) и тогда соотношения (4.3), (4.6) образуют замкнутую систему уравнений.

Рассмотрим случай, когда скорость одного из концов стержня обратилась в нуль, например  $v_2 = 0, v_1 \neq 0$ . Исключим  $v_1, v_2$  из первых двух уравнений (4.2) и подставим их в третье уравнение (4.2). Полученное равенство

$$m_1^{-1} (\mathbf{f}_1 - \mathbf{F}_2) = m_2^{-1} (\mathbf{f}_2 + \mathbf{F}_2) + \omega \times \mathbf{l} - \omega^2 \mathbf{l} \\ \text{умножим на втр с} \\ (m_1^{-1} + m_2^{-1}) \mathbf{F}_2 \mathbf{e} + m_2^{-1} \mathbf{f}_2 \mathbf{e} = \omega^2 \mathbf{l} \quad (4.7)$$

Здесь принято во внимание, что  $v_1 = \omega \times \mathbf{l}$  (так как  $v_2 = 0$ ), и поэтому  $\mathbf{f}_1 \mathbf{e} = 0$  в силу первого равенства (4.3).

1. Если принять, что  $k_2 m_2 g \leq |\mathbf{F}_2|$ , по второй формуле (4.3) получим  $\mathbf{f}_2 = -k_2 m_2 g \mathbf{F}_2 / |\mathbf{F}_2|^{-1}$ . Подставим это значение  $\mathbf{f}_2$  в уравнение (4.7) и разрешим его относительно  $\mathbf{F}_2 \mathbf{e}$ :

$$\mathbf{F}_2 \mathbf{e} = \omega^2 \mathbf{l} \left[ m_1^{-1} + m_2^{-1} \left( 1 - \frac{k_2 m_2 g}{|\mathbf{F}_2|} \right) \right]^{-1} \quad (4.8)$$



Выражение в кривом кружке этому  $\mathbf{F}_2 \mathbf{e} \geq 0$ , следовательно

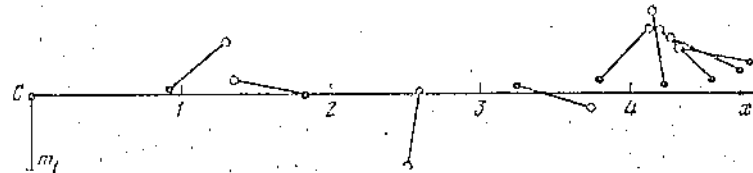
Подставим  $\mathbf{F}_2$  из  $|\mathbf{F}_2|$  в исходное для условия, соответствующее 2. В случае  $k_2 m_2 g \leq |\mathbf{F}_2|$  (4.7) получим  $\mathbf{F}_2 \mathbf{e} = 0$ . Объединяя получим будем иметь

$$\mathbf{f}_1 = 0, \quad \mathbf{f}_2 = 0$$

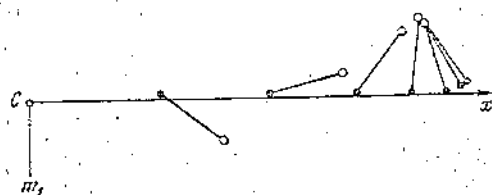
Уравнения (4.6) определяют движение

Для некоторых гирионах численц  $m_1 = m_2 = 1 \text{ кг}$ ,  $r_1 = r_2 = 1 \text{ м}$ ,  $\omega = 1 \text{ рад/с}$  (фиг. 5—7). Темпы изменения движений, свободные (с интервалом времени

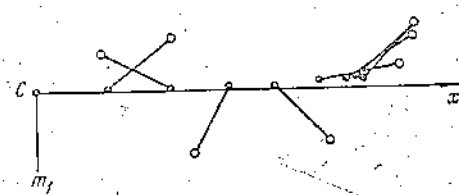
Начальная скорость вдоль оси  $Ox$ . Начальные углы вращения составляют  $= 1 \text{ с}^{-1}$  (фиг. 6); Углы системы против хода движения.



Фиг. 5



Фиг. 6



Фиг. 7

Выражение в круглых скобках последней формулы неотрицательно, поэтому  $F_2e \geq 0$ , следовательно, в этом случае

$$F_2 = e|F_2|, f_2 = -k_2 m_2 g e \quad (4.9)$$

Подставим  $F_2$  из (4.9) в (4.8) и найдем отсюда  $|F_2|$ , а затем подставим  $|F_2|$  в исходное для первого условия неравенство  $k_2 m_2 g \leq |F_2|$ . Получим условие, соответствующее данному случаю,  $k_2 m_2 g \leq m_1 \omega^2 l$ .

2. В случае  $k_2 m_2 g > |F_2|$  вторая формула (4.3) дает  $f_2 = -F_2$  и тогда из (4.7) получим  $F_2 = m_1 \omega^2 l$ . Следовательно,  $f_2 = -m_1 \omega^2 l$  ( $k_2 m_2 g > m_1 \omega^2 l$ ).

Объединяя полученные формулы и аналогичные им для случая  $v_1 = 0$ , будем иметь

$$\begin{aligned} f_i &= (-1)^{i+1} m_i \omega^2 l \quad \text{при } m_i \omega^2 l < k_i m_i g \quad (i=1, 2) \\ f_i &= (-1)^{i+1} k_i m_i g e \quad \text{при } m_i \omega^2 l \geq k_i m_i g \quad (i=1, 2) \end{aligned} \quad (4.10)$$

Уравнения (4.6) вместе с соотношениями (4.3), (4.10) полностью определяют движение системы.

Для некоторых значений параметров уравнения (4.6) были проинтегрированы численно методом Рунге — Кутта. При расчетах принималось  $m_1 = m_2 = 1$  кг,  $r_1 = r_2 = 0,5$  м,  $k_1 = k_2 = 0,02$ . Результаты представлены на фиг. 5—7. Тёмными точками отмечены положения центра масс на плоскости движения, светлыми точками — соответствующие положения массы  $m_i$  (с интервалом времени 1 с).

Начальная скорость центра масс  $V_0$  системы выбиралась направленной вдоль оси  $Ox$ . Начальные значения скорости центра масс и угловой скорости вращения составляли:  $V_0 = 1$  м/с,  $\omega_0 = 2,5$  с<sup>-1</sup> (фиг. 5);  $V_0 = 1$  м/с,  $\omega_0 = -1$  с<sup>-1</sup> (фиг. 6);  $V_0 = 0,5$  м/с,  $\omega_0 = 2,5$  с<sup>-1</sup> (фиг. 7). Отметим, что при вращении системы против часовой стрелки центр масс отклоняется влево по ходу движения. Перед остановкой системы сначала обращается в нуль

скорость одной из точек, а вторая некоторое время вращается вокруг нее до полной остановки.

Авторы благодарят Л. Д. Акуленко за полезные обсуждения полученных результатов.

#### ЛИТЕРАТУРА

1. Позняков П. Лекции о трении. М.: Гостехиздат, 1954. 316 с.
2. Лурье А. И. Аналитическая механика. М.: Наука, 1961. 824 с.
3. Пожарницкий Г. К. Исчезающее скольжение механических систем с сухим трением. — ПММ, 1965, т. 29, вып. 3, с. 558.
4. Конденсус П. Связь между трением скольжения и трением ворчения и ее учет в теории волчка. — В кн.: Проблемы гирроскопии. М.: Мир, 1967, с. 60.
5. Градищев И. С., Рыжих И. М. Таблицы интегралов, сумм, рядов и произведений. М.: Физматгиз, 1963. 1100 с.

Москва

Поступила в редакцию  
16.VII.1980

МЕХАНИКА  
ТВЕРДОГО Т  
№ 4 • 1981

УДК 534

ИССЛЕДОВАНИЯ  
ГАРМОНИЧЕСКОГО  
ВТОРОГО ПОРЯДКА

В теории колебаний участвует амплитудно-частотный метод. Большая часть исследований методом расчленения на различные типы.

В публикуемой работе, позволяющей колебания разных координат, решена задача на величины вспомогательных систем [6].

На основе полученных оценок амплитудно-частотного метода. При доминантном маятнике в главной области нелинейности

1. Рассмотрим симметричные колебания при наличии симметрии

$p =$

$p \geq 0, d$

Условия (1.1) в соответствии и меются между «экстремальной силой» всегда

Пусть  $x(t, A, \omega)$ ,  $x(0, A, \omega) = -A < 0$  следовательно,  $x'(t, A, \omega) < 0$  при  $\dot{\omega} > 0$  при  $\dot{x}(t, A, \omega) < 0$  при  $\dot{\omega} < 0$ .

В силу симметрии